

## ИНЖЕКЦИОННЫЙ ФАБРИ-ПЕРО ЛАЗЕР С ВНУТРЕННИМИ СИЛЬНОСВЯЗАННЫМИ НИЗКОДОБРОТНЫМИ РЕЗОНАТОРАМИ

*Н. П. Бежан, В. И. Брынзарь, Д. В. Гицу, В. И. Иванов, М. Б. Иванов, В. В. Попушой*

Одной из наиболее интересных разновидностей полупроводниковых лазеров является лазер типа  $C^3$  (со сколото-связанными резонаторами) [1, 2], что обусловлено прежде всего возможностью достижения сильной спектральной селективности и управления длиной волны излучения. Улучшенные спектральные характеристики таких лазеров обусловлены так называемым «кониусным эффектом», заключающимся в наложении двух почти периодических функций спектральной зависимости добротности продольных мод обоих резонаторов. Связь между секциями  $C^3$ -лазера определяется величиной зазора и может быть варьирована от умеренно слабой до умеренно сильной.

Нами была поставлена задача исследования лазера с конфигурацией, подобной  $C^3$ -системе, имеющей следующие особенности: 1) одинаковую плотность тока в секциях; 2) сильную связь между секциями; 3) низкодобротные резонаторы секций при высокодобротном резонаторе лазера как целого. Такая конфигурация может реализоваться непреднамеренно в лазерных диодах (ЛД) при наличии технологической неоднородности, возмущающей

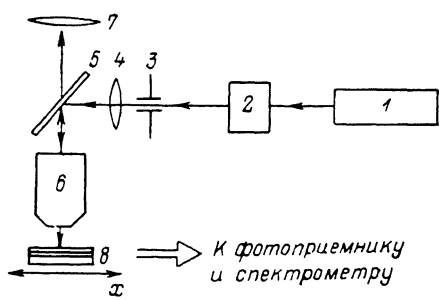


Рис. 1. Схема экспериментальной установки.

1 — аргоновый лазер ( $\lambda=0.488$  мкм, мощность 1 Вт), 2 — модулятор, 3 — щель, 4 — согласующая линза, 5 — полупрозрачное зеркало, 6 — микрообъектив, 7 — окуляр (окуляр 7 и микрообъектив 6 образуют микроскоп для визуального наблюдения лазерного пятна на поверхности ЛД), 8 — AlGaAs лазерный диод.

локально показатель преломления активной области, или преднамеренно — путем искусственного создания такой неоднородности, например вытравливанием канавки до активной области поперечно оси лазера. В пользу существенной роли, которую играют технологические неоднородности, говорят экспериментальные исследования, показавшие, что мощности и спектры излучения с противоположных торцов ЛД обычно отличны друг от друга [3]. В нашем эксперименте неоднородность (зазор) формировалась путем локального нагрева активной области излучением аргонового лазера, что позволило управлять параметрами такой неоднородности и прежде всего ее местоположением (рис. 1).

Излучение аргонового лазера проецировалось в виде полоски размером  $\sim 4 \times 10$  мкм на поверхность полоскового AlGaAs лазера с шириной активной области 6 мкм. Модулятором формировались импульсы воздействующего излучения длительностью 3 мкс и с паузой между ними 500 мкс. Такое кратковременное воздействие приводит практически к локальному разогреву поверхности и поверхностных слоев ЛД, а за время между импульсами света диод полностью восстанавливает свое состояние. Импульсы накачки ЛД подавались синхронно с тепловыми импульсами с задержкой относительно переднего фронта последних на 1—3 мкс. Таким образом, характеристики системы изучались при квазистационарном распределении температурного поля. С помощью уравнения распространения тепла в одномерном приближении и граничного условия для такого рода задач [4] оценивался разогрев  $\Delta T$  активной области, который составляет  $\sim 50$  °C. К такому же результату приводит оценка величины  $\Delta T$ , определенная экспериментально по длинноволновому сдвигу максимума спонтанного излучения ЛД, работающего при токах значительно ниже порогового (при этом разогревалась область, непосредственно примыкающая к торцу, обращенному к монохроматору).

Локальный разогрев разделяет лазер на две части «перегородкой» с более высоким показателем преломления ( $\partial n / \partial T \sim 5 \cdot 10^{-4}$  К<sup>-1</sup> [5]) с разницей  $\Delta n$  между нагретой и ненагретой областями  $\sim 2.5 \cdot 10^{-2}$ . Таким образом, такой диод по существу представляет собой четырехзеркальную систему, образованную из двух низкодобротных резонаторов с сильноотражающими внешними (коэффициент отражения  $R \sim 0.32$ ) и слабоотражающими внутренними зеркалами ( $r \sim 10^{-5}$ ). При этом тепловой зазор не разрывает волновод системы, что обе-

спечивает сильную связь ( $\approx 1$ ) между парциальными резонаторами. В дальнейшем будем называть такой диод лазером с внутренними сильносвязанными низкодобротными резонаторами (ЛВСНР).

При сканировании теплового зазора вдоль длины ЛВСНР существенно изменялись его мощностные и спектральные характеристики (рис. 2). Как видно, при перемещении теплового зазора имеет место перестройка длины волны излучения  $\lambda_r$ , что связано с взаимодействием мод

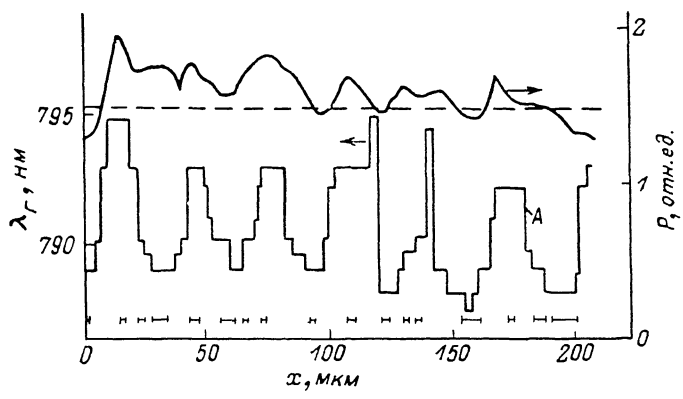


Рис. 2. Зависимости длины волны генерации в доминирующей моде и мощности излучения ЛВСНР от координаты теплового зазора.

Сегментами указаны области одномодовой генерации, штриховой линией — уровень мощности в отсутствие теплового зазора. Ток накачки лазера 132 мА, пороговый ток 90 мА, длина 207 мкм.

парциальных резонаторов и лазерного диода как целого. Характерным является квазипериодическое изменение  $\lambda_r$  с периодом  $\sim 32$  мкм. Близкие к этому периоды вариации  $\lambda_r$  также наблюдались и на других образцах. Суммарный диапазон изменения длины волны излучения составляет порядка 7.5 нм и уменьшается с падением  $\Delta T$ . При этом существует ряд положений теплового зазора, при которых ЛВСНР переходит в одномодовый режим генерации (рис. 3, б). Максимально достигнутое отношение интенсивностей центральной и боковых мод составило  $\sim 10$ . Отметим, что исходный образец в отсутствие теплового воздействия имел многомодовый спектр излучения (рис. 3, а).

Размах изменения мощности при перемещении теплового зазора достигает величины  $\sim 45\%$  (при этом на некоторых образцах наблюдается двухкратное отличие уровней мощности с переднего и заднего зеркал). Кроме того, можно отметить две особенности: 1) существует

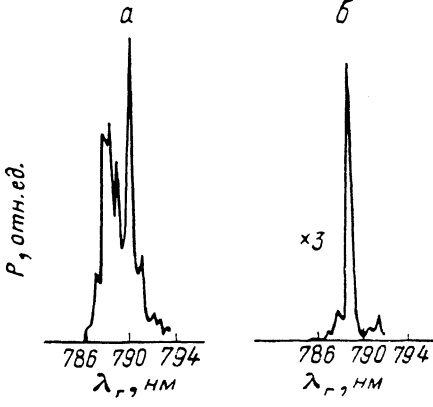


Рис. 3. Спектры излучения лазера.

а — в отсутствие теплового зазора, б — при наличии его с координатой  $X=185$  мкм (точка А на рис. 2).

некоторая корреляция между координатными зависимостями мощности и  $\lambda_r$ ; 2) несмотря на то что в целом осуществляется подогрев образца, мощность излучения ЛВСНР может быть выше (на 20–30 %) уровня излучения в отсутствие теплового зазора. Последнее не может быть связано с эффектами оптической подкачки активной области воздействующим излучением, прошедшим через контактную золотую пленку и верхние слои лазера, поскольку, по оценкам, связанным с измерением фототока диода, работающего при обратном смещении (как фотоприемник), уровень прошедшей мощности не превышает  $10^{-5}$  от падающей.

Наличие теплового зазора приводит к обмену энергией между движущимися в противоположных направлениях волнами. При этом имеет место как синфазное, так и противофазное сложение полей мод с парциальными волнами, отраженными от теплового зазора. Вследствие различных частот продольных мод такое сложение будет по-разному происходить для разных мод. Поэтому тепловой зазор изменяет пороги возбуждения различных мод, в результате чего изменяются мощность и спектр излучения лазера. Различные добавки к порогам различных

мод  $\Delta g_{\text{пор}}$  повышают спектральную селективность ЛВСНР по сравнению с ЛД без теплового зазора, что увеличивает возможность достижения одномодового режима генерации. При сканировании теплового зазора изменяются условия складывания оптических полей ЛВСНР, что приводит к перестройке рабочей длины волны лазера. Здесь следует ожидать сильное изменение  $\lambda_r(x)$  с периодом  $\sim \lambda/2$ . Однако такая быстроосциллирующая зависимость в эксперименте не наблюдалась, что, по-видимому, связано с некоторым «размытием» теплового зазора за время импульса подкачки.

На основе модели плоских волн в приближении отсутствия рассеяния излучения на тепловом зазоре и с учетом порогового условия генерации найдено простое уравнение, позволяющее оценить величины изменений  $\Delta g_{\text{пор}}$  лазерных мод,

$$\sqrt{rR} \exp(i\Theta) [\exp(-2\Gamma l_1) + \exp(-2\Gamma l_2)] + R(1 - \sqrt{r})^2 \exp(-2\Gamma L + i2\varphi) = 1, \quad (1)$$

где  $\Gamma$  — комплексная постоянная распространения;  $l_1, l_2$  — длины парциальных резонаторов;  $\Theta, \varphi$  — соответственно фазовые сдвиги отраженной и прошедшей через тепловой зазор волн.

Несмотря на то что  $r \ll R$ ,  $\Delta g_{\text{пор}}$  может достигать значений  $0.1$ — $1.0 \text{ см}^{-1}$ . Такие изменения  $\Delta g_{\text{пор}}$  вполне могут привести к наблюдаемым диапазонам перестройки  $\lambda_r$  и изменений мощности генерации.

Таким образом, ЛВСНР с тепловым зазором позволяет: 1) получать одномодовый режим генерации; 2) управлять  $\lambda_r$ ; 3) понизить порог генерации; 4) перераспределять мощности, излучаемые с переднего и заднего зеркал. Сильная зависимость параметров ЛВСНР от геометрических характеристик зазора объясняет разброс параметров ЛД, изготовленных в одном технологическом цикле, где в результате присутствия неконтролируемых неоднородностей показателя преломления [3] неизбежно образуются внутренние сильносвязанные низкодобротные резонаторы. В заключение отметим, что приведенные результаты не противоречат качественным выводам работы [3], авторы которой сделали попытку описать неоднородный по длине гетеролазер, формально перенося известные в квантовой механике принцип Франка—Кордона и эффект Рамзауэра на исследуемую систему.

### Список литературы

- [1] Tsang W. T., Olsson N. A., Logan R. A. // Appl. Phys. Lett. 1983. Vol. 42, N 8. P. 650—652.
- [2] Tsang W. T., Olsson N. A., Logan R. A. et al. // Appl. Phys. Lett. 1983. Vol. 43. N 11. P. 1003—1005.
- [3] Манько М. А., Микеэлян Г. Т. // Тр. ФИАН. 1986. Т. 166. С. 126—154.
- [4] Анисимов С. И., Имас Я. А., Романов Г. С. Ходыко Ю. В. Действие излучения большой мощности на металлы. М.: Наука, 1970. 272 с.
- [5] Marple D. T. F. // J. Appl. Phys. 1964. Vol. 35. P. 1241—1242.

Институт прикладной физики  
АН МССР

Поступило в Редакцию  
9 ноября 1987 г.

## ВЛИЯНИЕ СОСТАВА МАТЕРИАЛА ПОДЛОЖКИ НА ПАРАМЕТРЫ ТОНКОПЛЕНОЧНЫХ ОПТИЧЕСКИХ ВОЛНОВОДОВ

A. B. Хомченко, B. P. Редъко

Известно, что свойства тонких пленок, полученных напылением в вакууме, практически всегда в большей или меньшей степени не соответствуют свойствам распыляемого материала [1]. Это относится и к стеклянным пленкам, получаемым высокочастотным (ВЧ) распылением и используемым в качестве оптических волноводов. Для таких пленок характерно, что их показатель преломления (ПП) практически всегда больше, чем ПП распыляемых материалов. Это обстоятельство позволило в свое время получить новый класс тонкопленочных оптических волноводов из стекол, названных гомогенными [2]. Очевидными причинами изменения ПП материала пленок являются отклонение состава материала пленки от состава рас-